

**КВАНТОВО-ХИМИЧЕСКИЙ РАСЧЕТ
ЛОКАЛИЗОВАННЫХ МОЛЕКУЛЯРНЫХ ОРБИТАЛЕЙ
ИНТЕРМЕДИАТОВ ЭПИХЛОРГИДРИНА
И ПРОИЗВОДНЫХ ПИРИДИНА**

K.X. Жапаргазинова

Павлодарский государственный университет им. С. Торайгырова

Известно, что состав аминоэпоксисодержащих производных пиридина зависит от реакционной активности α -оксидного цикла интермедиатов [1]. Состав образующихся полупродуктов и продуктов зависит от направления раскрытия α -оксидного цикла, локализации неподеленных пар гетероатомов функциональных групп интермедиатов. Расчет локализованных молекулярных орбиталей (МО) промежуточных продуктов реакции ЭХГ и пиридина [2-4], воспроизводит довольно точно электронное строение нестабильных соединений, однако не приближает квантовомеханическое описание электронной структуры интермедиатов к классическим представлениям о валентных парах и связывающих орбиталях. Применение локализованных молекулярных орбиталей (ЛМО) α -аминоэпоксидов позволяет установить тонкие конформационные эффекты исследуемых объектов.

Концепция локализации основана на том, что решение уравнений Хартри-Фока для систем с закрытой оболочкой выполняется лишь при унитарном преобразовании занятых молекулярных орбиталей. По Леннарду-Джонсу, Рюденбергу [5] критерием максимальной локализации является условие минимального кулоновского отталкивания всех электронных пар.

Цель работы- расчет ЛМО интермедиатов ЭХГ и производных пиридина для установления структуры n -пар гетероатомов эпоксидного и пиридинового циклов, позволяющее определить направления протекания реакции на промежуточных стадиях.

РЕЗУЛЬТАТЫ И ИХ ОБСУЖДЕНИЕ

Для определения типа гибридизации и пространственной направленности неподеленной электронной пары у атомов азота в модельных исходных ссоединениях и α -, β -, γ -изомерах N-(2,3-эпоксипропил)циан- и N-(2,3-эпоксипропил)-карбоксицианий-ионов, некоторых их дизамещенных производных квантово-химическим полуэмпирическим методом проведены расчеты ЛМО и гибридных орбиталей (ГО) с использованием критерия максимального межэлектронного расстояния по Бойсу. Вычисления локализованных МО проводились с использованием алгоритма Стоарта.

Анализ ЛМО исходного 3-цианпиридина свидетельствует, что в молекуле имеются две неподеленные электронные n-пары: у пиридинового атома азота и атома азота нитрильной группы. n-пара пиридинового атома азота имеет следующий атомно-орбитальный состав МО:

$$0.8348 (2s) + 0.2744 (2p_x) + 0.4619 (2p_y),$$

что говорит о неравноценном вкладе s- и p- орбиталей в МО. Степень локализации электронной плотности n-пары составляет 98.56%, критерий Бойса равен 1.0293. Вклад s-орбиталей в ГО составляет 70.71%, p-вклад-29.29% подтверждая тем самым, что n-пара пиридинового атома азота имеет больше s-характер и гибридизация соответствует смешанному $s^{7/10} p^{3/10}$ типу. Атом азота нитрильной группы, образующий две взаимно перпендикулярные π -связи и одну σ -связь с атомом углерода имеет n-электронную пару с более преимущественным s-характером в сравнении с пиридиновым атомом азота. Доля s-вклада составляет 84.27%, p-вклада-15.73%. Гибридизация смешанного типа и соответствует $s^{8/10} p^{2/10}$. Критерий Бойса по максимальному межэлектронному расстоянию равен 1.0090, что соответствует 99.55% локализации электронной плотности n-пары на данном атоме и ЛМО имеет орбитальный состав:

$$0.9160 (2s) - 0.3953 (2p_x) + 0.0166 (2p_y) + 0.0007 (2p_z).$$

Введение второй нитрильной группы в качестве заместителя в положение 5 гетероцикла на 0.11% уменьшает степень локализации n-пары на пиридиновом атоме азота и не изменяет центрирования электронной плотности n-пары на нитрильном атоме азота (99.54%). Одинаковые значения критерия Бойса-1.0093 подтверждают равноценность положений 3 и 5 пиридинового кольца в отношении распределения электронной плотности в нитрильных группах. В атомно-орбитальном составе ЛМО n-пар атомов азота нитрильных групп в положении 3 и 5 пиридинового кольца перераспределение электронной плотности происходит лишь в пределах p-орбиталей, что в целом подтверждает вышеизложенное:

$$(положение 3) 0.9163 (2s) - 0.3943 (2p_x) + 0.0159 (2p_y) - 0.0012 (2p_z)$$

$$(положение 5) 0.9163 (2s) + 0.2015 (2p_x) - 0.3393 (2p_y) - 0.0004 (2p_z)$$

В молекуле 4-цианпиридина, стерически более выгодного для взаимодействия с ЭХГ, степень локализации электронной плотности n-пары на атоме азота гетероцикла равна 98.63% (критерий Бойса-1.0278), на атоме азота нитрильной группы 99.55% (критерий-1.0090). Доля s-вклада для пиридинового атома азота в ГО составляет 70.48%, p-вклада-29.52%, тип гибридизации смешанный- $s^{7/10} p^{3/10}$. Орбитальный состав ЛМО характеризует полную локализацию электронной плотности n-пар на соответствующих атомах:

$$(N_{Py}) \quad -0.8338 (2s) - 0.2737 (2p_x) - 0.4650 (2p_y)$$

$$(N_{CN}) \quad 0.9158 (2s) - 0.2009 (2p_x) - 0.3413 (2p_y) - 0.0003 (2p_z)$$

При наличии в качестве заместителя карбоксильной группы в молекуле исходной никотиновой кислоты присутствуют две π -пары атомов кислорода карбонильной и гидроксильных групп. Электронная плотность локализована в них соответственно на 99.86% и 99.77%). Степень локализации электронной плотности π -пары на пиридиновом атоме азота равна 98.58% (критерий-1.0290). Доля s-вклада составляет 70.80%, p-вклада- 29.20%, что показывает незначительное влияние природы заместителя на валентное состояние π -пары атома азота гетероцикла. Следует отметить, что атомно-орбитальный состав ЛМО π -пар атомов кислорода карбонильной и гидроксильных групп характеризуется отсутствием электронной плотности на $2p_z$ -орбиталах :

$$\begin{aligned} (\text{O}_{\text{C=O}}) & -0.9556 (2s) + 0.1618 (2p_x) - 0.2435 (2p_y) \\ (\text{O}_{\text{OH}}) & - 0.8999 (2s) - 0.2013 (2p_x) + 0.3838 (2p_y) \end{aligned}$$

В случае пиридиникарбоновых кислот при симметричном 3,5-расположении функциональных групп состав ЛМО π -пары атома азота гетероцикла характеризуется также преобладающим вкладом s-орбиталей (71.03%) и меньшим вкладом p-орбиталей (28.97%):

$$(\text{N}_{\text{Py}}) 0.8364 (2s) + 0.2739 (2p_x) + 0.4586 (2p_y)$$

Таким образом, анализ атомно-орбитального состава локализованных МО исходных моно- и дизамещенных пиридинпроизводных показал, что π -пара пиридинового атома азота с преобладающим s-характером практически полностью центрирована на данном атоме и наличие заместителей в гетероцикле существенно не изменяет валентного состояния π -пары.

В модельных промежуточных N-(2,3-эпоксипропил)циан- и карбоксилидных-ионах при реализации π -пары пиридинового атома азота в донорно-акцепторном связывании с атомом углерода метиленовой группы ЭХГ рассмотрена связевая локализация электронной плотности. В N-(2,3-эпоксипропил)-3-цианпиридиний-ионе локализация на двухцентровой связи N-C составляет 64.63% и 34.14% (критерий-1.8716) для атомов азота и углерода соответственно. Анализ орбитального состава ЛМО атома азота указанной связи показывает преобладание p-характера:

$$0.5418 (2s) - 0.3031 (2p_x) + 0.5107 (2p_y) - 0.0063 (2p_z)$$

Для ЛМО атома углерода метиленовой группы вклад s-орбиталей значительно меньше вклада p-орбиталей в связевую локализацию:

$$0.2499 (2s) + 0.2568 (2p_x) - 0.4604 (2p_y) - 0.0329 (2p_z)$$

При наличии нитрильной группы в α -положении степень локализации электронной плотности на связи между пиридиновым и эпоксидными фрагментами составляет соответственно 64.94% и 33.85% (критерий Бойса-1.8645). Соотношение s- и p-вкладов в связевую ЛМО для атома азота равно 46.09% и 53.94% :

$$- 0.5471 (2s) - 0.3036 (2p_x) - 0.5076 (2p_y) - 0.0183 (2p_z)$$

Для атома углерода вклад p-орбиталей в связь N-C составляет 81.8% :

$$-0.2483 (2s) + 0.2786 (2p_x) + 0.4460 (2p_y) + 0.0249 (2p_z)$$

В γ-положении нитрильной группы, по результатам расчета, локализация электронной плотности на связи N-C имеет следующий состав: C- 34.32%, N- 64.46% и критерий равен 1.8751. Преобладание доли p-орбиталей обоих атомов в формировании состава ЛМО очевидна.

Локализация на связи N-C для N-(2,3-эпоксипропил)-3,5-дицианпиридиний-иона, как показывает расчет, имеет следующий состав: N- 65.25%, C- 33.51%, с критерием Бойса -1.8583. Вклад p-орбиталей пиридинового атома азота в связевую ЛМО (53.73%) превышает вклад s-орбиталей (46.25%). Наличие второй нитрильной группы, вследствие эффекта сопряжения, оттягивает электронную плотность из пиридинового кольца и участие атома азота в связевой локализации незначительно возрастает.

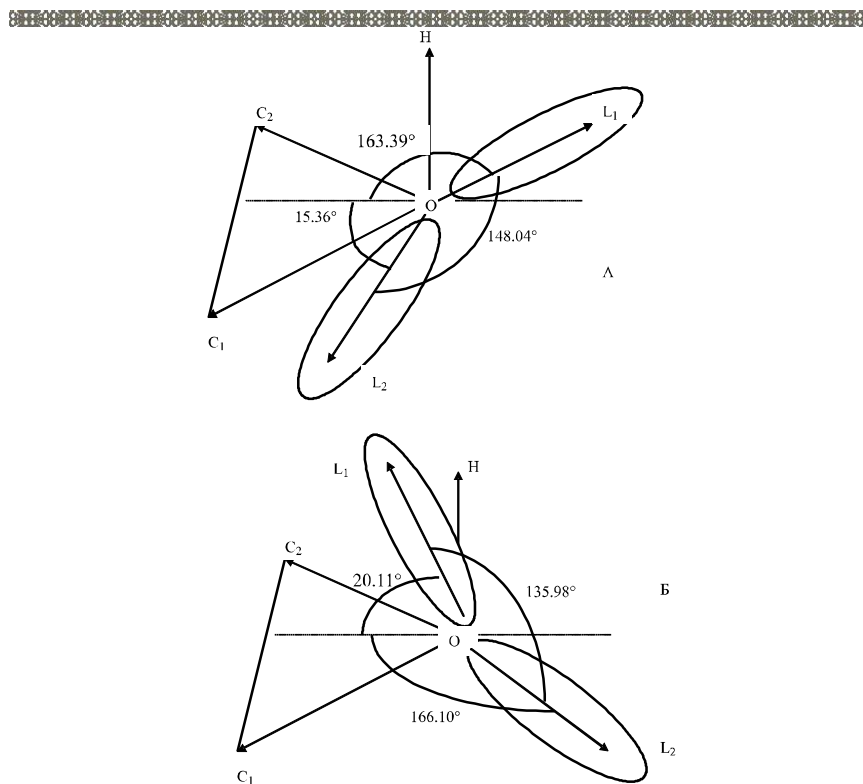
В состав промежуточных интермедиатов N-(2,3-эпоксипропил)-3-цианпиридиний-иона входит эпоксидное кольцо, содержащее атом кислорода с двумя n-парами, направленность и локализация которых обуславливает образование химической связи на последующих стадиях реакции. Уточнение пространственной ориентации n-пар и типа гибридизации атома кислорода проведено с целью выяснения роли нитрильной группы как заместителя и определения раскрытия оксиранового цикла со стороны связи C-O в молекулах дицианзамещенных производных. Известно [6], что наиболее вероятное раскрытие эпоксидного кольца со стороны связи H2C-O. В случае N-(2,3-эпоксипропил)-3-цианпиридиний-иона оценка локализации электронных n-пар атома кислорода составляет 99.95% и 97.81%. Центрирование электронной плотности n-пар на атоме кислорода, согласно критерия Бойса 1.0011 и происходит полностью без остаточных явлений на соседних атомах. Две n-пары атома кислорода состава

$$L1 \quad 0.9586 (2s) - 0.0992 (2p_x) - 0.2652 (2p_y) - 0.0216 (2p_z)$$

$$L2 \quad 0.0197 (2s) + 0.1852 (2p_x) - 0.0769 (2p_y) + 0.9682 (2p_z)$$

показывают преобладающую долю s-вклада (91.93%) для первой и p-вклада (97.77%) для второй n-пары и соответственно $s^{9/10}p^{1/10}$, $s^{1/10}p^{9/10}$ смешанный тип гибридизации.

Расчет углов, образуемых n-парами атома кислорода с плоскостью оксиранового кольца, составляет 163.39° для L1 и 15.36° для L2, следовательно n-пары не находятся в одной плоскости с H2C-O и HC-O связями (рисунок). Угол между направлениями обеих n-пар равен 148.04° и присоединение последующих молекулярных фрагментов будет происходить в соответствии с направленностью гибридных орбиталей.



Рисунок

Направленность ЛМО неподеленных пар атома кислорода в промежуточном N-(2,3-эпоксипропил)-3-цианпиридиний-ионе (А), N-(2,3-эпоксипропил)-2-циан-5-винилпиридиний-ионе (Б)

Наличие второй нитрильной группы в молекулах N-(2,3-эпоксипропил)-3,5-дицианпиридиний-иона не влияет на степень локализации n-пар атома кислорода (99.98% и 97.79%), критерии равны 1.0004 и 1.0456 соответственно.

Состав ЛМО двух n-пар

$$L_1 \quad 0.9596(2s) - 0.2559(2p_x) - 0.0465(2p_y) - 0.1063(2p_z)$$

$$L_2 \quad 0.0062(2s) - 0.3735(2p_x) + 0.1052(2p_y) + 0.9096(2p_z)$$

свидетельствует, что тип гибридизации остается смешанным.

В молекуле N-(2,3-эпоксипропил)-2-циан-5-винилпиридиний-иона степень концентрации электронных n-пар атома кислорода составляет 97.74% и 99.98%, критерий Бойса – 1.0467 и 1.0004 соответственно. Состав n-пар атома кислорода также подтверждает, больший s-вклад в ГО для 1-ой n-пары и р-

вклад для второй n-пары атома кислорода, тип гибридизации соответствует $s^{9/10}p^{1/10}$ и обратное соотношение для L_2 .

$$\begin{aligned} L_1 & \quad -0.9597 (2s) - 0.1972 (2p_x) + 0.1028 (2p_y) - 0.1715 (2p_z) \\ L_2 & \quad -0.0041 (2s) - 0.6883 (2p_x) - 0.2520 (2p_y) + 0.6634 (2p_z) \end{aligned}$$

Угол L_1 и L_2 с плоскостью эпоксидного цикла составляет 20.11° и 166.10° соответственно. Величина угла между направлениями обеих n-пар атома кислорода равна 135.98° .

Таким образом, в моно- и дизамещенных интермедиатах ЭХГ и производных пиридина путем локализации электронной плотности методом Бойса по связи C-O эпоксидного цикла установлено преобладание p-вклада орбиталей со стороны атома кислорода. Это свидетельствует о наибольшей вероятности разрыва связи со стороны незамещенного атома углерода CH₂-O связи, что согласуется с экспериментальными данными. Расчет углов и пространственной ориентации электронных n-пар атома кислорода в указанных сопряжениях подтверждает данное направление химических превращений.

ЛИТЕРАТУРА

1. Ергожин Е.Е., Рафиков С.Р., Иманбеков К.И., Менлигазиев Е.Ж. Олигомеры на основе эпихлоргидрина и пиридинкарбоновых кислот, обладающие катионо- и анионообменными свойствами //ВМС,1984.- Т.26А, №5. - С . 989-992.
2. Иманбеков К.И., Жапаргазинова К.Х. Квантово-химический расчет структуры модельных сопряжений реакции эпихлоргидрина с пиридинкарбоновыми кислотами и цианпиридинами //Алматы, Вестник КазГУ, сер. хим.- 1999.-№3(15).- С.161-164.
3. Жапаргазинова К.Х., Иманбеков К.И., Нуспова А.М. Спектроскопическое исследование механизма реакции эпихлоргидрина с 3-цианпиридином // Алматы, Вестник КазГУ, сер. хим.- 1999.- №3(15).- С.164-166.
4. Иманбеков К.И., Жапаргазинова К.Х., Ергожин Е.Е. Исследование механизма реакции эпихлоргидрина с цианпиридинами // Докл. НАН РК. - Алматы, 2000.- №1.- С.50-53.
5. Шальве О, Додель Р., Дине С. и др. Локализация и делокализация в квантовой химии. -М.: Мир, 1978.- 411 с.
6. Мулдахметов З.М., Аяпбергенов К.А., Май И.И., Фазылов С.Х. Структура производных окиси этилена. - Алма-Ата, 1973.- 150 с.

Түйіндеме

Бұл мақалада N-(2,3-эпоксипропил) цианпиридиний- және и N-(2,3-эпоксипропил)-карбоксилидиний интермедиаттардың оттегі атомындағы n-электрон жұбының көңістікте орналасуы және

гетероатомдардың гибридтеги типі есептелді. Келесі химиялық озгерістердегі аралық тұрақсыздықтардың әрекеттесу базаты көрсетілген.

Resume

The article considers the types of hybridization of heteroatoms and specifies spatial orientation of n-pairs of oxygen atom in intermediates N-(2,3-epoxipropyl)-cyanopyridinyl- and N-(2,3-epoxipropyl)carboxypyridinyl-ions. The direction of interaction of intermediate

УДК 542.943.7;547.592.12

**СИНТЕЗ НАНОКАТАЛИЗАТОРОВ НА ОСНОВЕ
КОБАЛЬТА ДЛЯ ПРОЦЕССОВ ГИДРИРОВАНИЯ И
ОКИСЛЕНИЯ**

А.К. Жармагамбетова, А.С. Ауезханова, Б.К. Дюсеналин

Институт органического катализа и электрохимии им.

Д.В. Сокольского, г. Алматы

Ж.К. Шоманова

НИИ НХТМ, г. Алматы

В последние годы благодаря развитию нанотехнологий появилась возможность направленного конструирования новых типов катализаторов с однородными наноразмерными частицами (НРЧ) активной фазы. Для стабилизации, микрокапсулирования, модификации НРЧ катализаторов во многих методиках используются полимеры [1].

Катализаторы, приготовленные взаимодействием растворов металлов платиновой группы с линейными полимерами, содержащими функциональные группы, являются активными катализаторами процессов гидрогенизации [2] и окисления [3] в мягких условиях при температурах 30-50°C и атмосферном давлении, что сближает их по свойствам с биокатализаторами. Однако, такие системы нестабильны, часто их катализическая активность лимитируется процессами диффузии субстратов к активным центрам – наночастицам металлов, расположенным внутри полимерной матрицы [2].

Разработанный нами способ последовательного закрепления на нонагранических адсорбентах вначале полимера, а затем металла, приводит к значительному улучшению свойств каталитических систем.

В настоящей работе приведены результаты электронномикроскопических и каталитических исследований кобальтовых нанесенных на оксиды систем,